

Basic Principle of the NMR Measurement

وقتی که شرایط رزونانس برقرار شود یک سیگنال
در کanal گیرنده ایجاد می شود

دو راه برای رسیدن به این شرایط وجود دارد:

- The Continuous Wave (CW) Method**
- The Pulsed NMR Method**

The Continuous Wave (CW) Method

اولین تجربیات رزونانس مغناطیسی هسته با این روش انجام شدند و تا دهه ۱۹۶۰ تنها این روش بکار برده می شد

Resonance condition:

$$\nu_L = \nu_1 = \left| \frac{\gamma}{2\pi} \right| B_0 \quad (1-12)$$

این روش به یکی از دو صورت زیر قابل انجام است:

Field Sweep Method

تغییر میدان مغناطیسی B_0 با ثابت نگه داشتن فرکانس فرستنده ν_1

Frequency Sweep Method

تغییر فرکانس فرستنده ν_1 با ثابت نگه داشتن میدان مغناطیسی B_0

ثبات به جاروب کننده میدان یا جاروب کننده فرکانس متصل است



روش CW برای هسته های زیر قابل استفاده است

^1H ^{19}F ^{31}P

ویژگی های این هسته ها عبارتند از:

اسپین $\frac{1}{2}$

فرارانی طبیعی زیاد
ممان مغناطیسی بزرگ

برای هسته هایی با فراوانی طبیعی کم مثل ^{13}C و همچنین برای محلولهای
بسیار رقیق از مولکولهای حاوی هسته هایی با فراوانی طبیعی زیاد روشن CW
قابل استفاده نیست

روشهای پالسی برای حل مشکلات و رفع محدودیتهای روشن CW ابداع شده اند

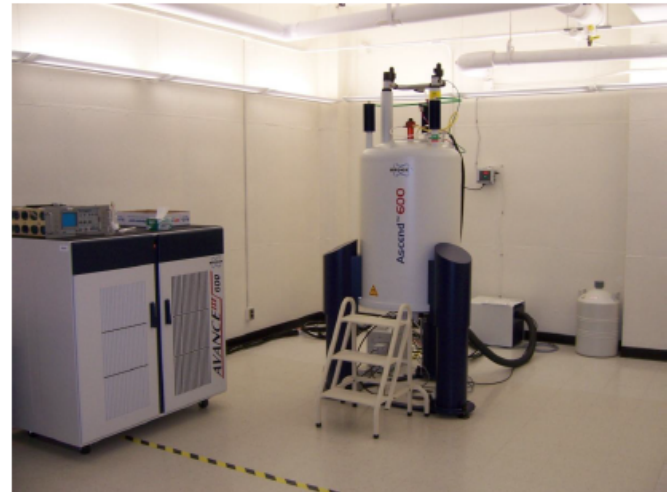


Table 1-2.
 ^1H and ^{13}C resonance frequencies
at different magnetic flux densities
 B_0 .^{a)}

| B_0 [T] | Resonance frequencies [MHz] | |
|--------------|-----------------------------------|-----------------|
| | ^1H | ^{13}C |
| 2.35 | 100 | 25.15 |
| 4.70 | 200 | 50.32 |
| 5.87 | 250 | 62.90 |
| 7.05 | 300 | 75.47 |
| 9.40 | 400 | 100.61 |
| 11.75 | 500 | 125.76 |
| 14.10 | 600 | 150.90 |
| 16.44 | 700 | 176.05 |
| 17.62 | 750 | 188.62 |
| 18.79 | 800 | 201.19 |
| 21.14 | 900 | 226.34 |
| 23.49 | 1000 | 251.48 |

^{a)} Values from the Bruker Almanac 2010.

The Pulsed NMR Method

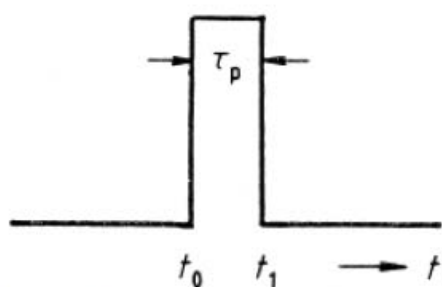


Figure 1-7.

Schematic representation of a pulse. The r. f. generator (frequency v_1) is switched on at time t_0 and off at t_1 . The pulse duration τ_p is typically several μs .

در روش پالسی تمامی نمونه های موجود در نمونه مثلاً هسته تمامی پروتونها یا هسته تمامی کربنهای ^{13}C بوسیله یک پالس رادیوفرکانس بطور همزمان تحریک می شوند.

انتخاب فرکانس پالس به هسته مورد نظر و قدرت میدان مغناطیسی بستگی دارد
مدت پالس مورد استفاده به عرض طیف بستگی دارد
 برای مثال اگر $s_p = 10^{-5}$ باشد نوار فرکانس $\nu_1 = 10^5 \text{ Hz}$ عرض دارد
 اگر فرکانس ν_1 به درستی انتخاب شود تمام فرکانس‌های موجود در طیف در نوار فرکانس پالس قرار خواهد گرفت

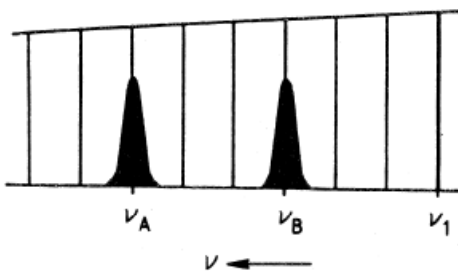


Figure 1-8.

Frequency components of a pulse. The band extends approximately from $\nu_1 - \tau_p^{-1}$ to $\nu_1 + \tau_p^{-1}$; ν_1 is the generator frequency and ν_A and ν_B are the resonance frequencies of nuclei A and B.

دامنه های فرکانس با دور شدن از ν_1 کاهش می یابد

بنابراین برای تحریک مناسب تمامی هسته ها از

Hard pulse

یعنی پالس کوتاه با قدرت بالا استفاده می شود

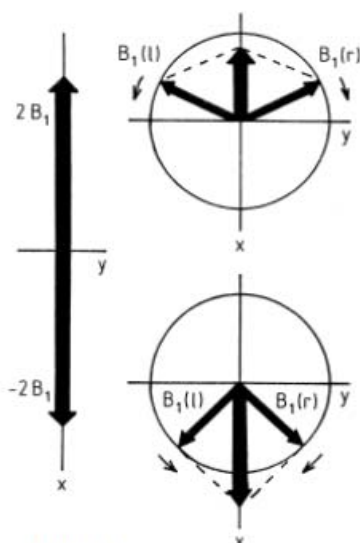


Figure 1-9.

Representation of a linear alternating field (max. $2B_1$) as the sum of two rotating fields, $B_1(r)$ (clockwise) and $B_1(l)$ (anticlockwise).

The Pulse Angle

هسته های پروتون در CHCl_3 را در نظر بگیرید
 ممانه های مغناطیسی با فرکانس لارمور می چرخند و در نتیجه اختلاف جمعیت ها ،
 مغناطیس شدگی ماکروسکوپی M_0 در جهت میدان خارجی وجود خواهد داشت

برای انجام رزونانس مغناطیسی هسته یک پالس رادیوفرکانس در جهت محور X اعمال می شود
 بردار مغناطیسی این امواج الکترومغناطیسی می تواند با دو قطبی های مغناطیسی و همچنین M_0 تأثیر متقابل داشته باشد.

میدان مغناطیسی متناوب خطی در جهت محور X را به صورت دو بردار با مقادیر یکسان B_1 که در دو جهت مخالف در صفحه y, x می چرخند نشان می دهیم

از دو میدان مغناطیسی چرخنده تنها آنکه جهت یکسانی با دو قطبی مغناطیسی چرخنده دارد با آن تأثیر متقابل دارد.

تحت این شرایط M_0 از روی محور Z دور می شود و به سمت صفحه عمود بر محور B_1 می رود و در این صفحه با فرکانس لارمور می چرخد (نمایش این وضعیت مشکل است).

اگر به جای سیستم مختصات ثابت، سیستم مختصات چرخانی را در نظر بگیریم که با فرکانس B_1 می چرخد، جهت و مقدار B_1 در این سیستم چرخان ثابت خواهد بود.

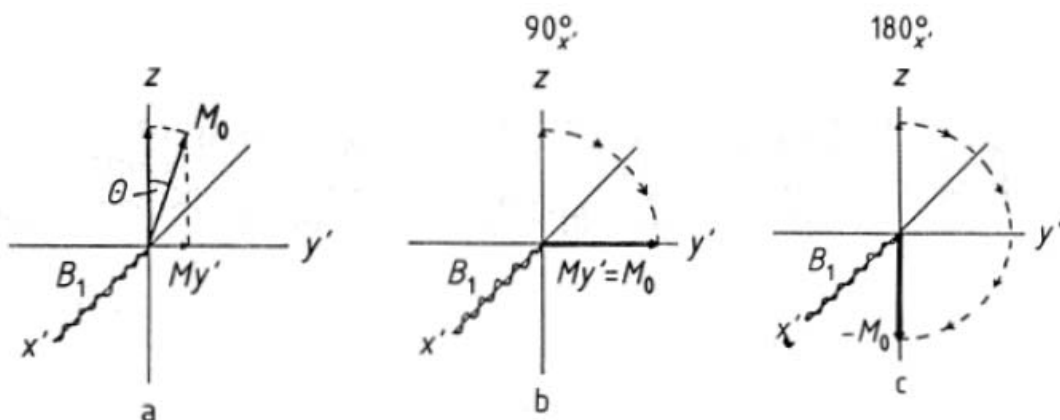


Figure 1-10.

Direction of the macroscopic magnetization vector M_0 in the rotating coordinate system:

- a) after a pulse of arbitrary angle $\theta_{x'}$; b) after a $90^\circ_{x'}$ pulse; c) after a $180^\circ_{x'}$ pulse. The wavy line along the x' -axis indicates the direction of the effective B_1 field.

$$(1-14)$$

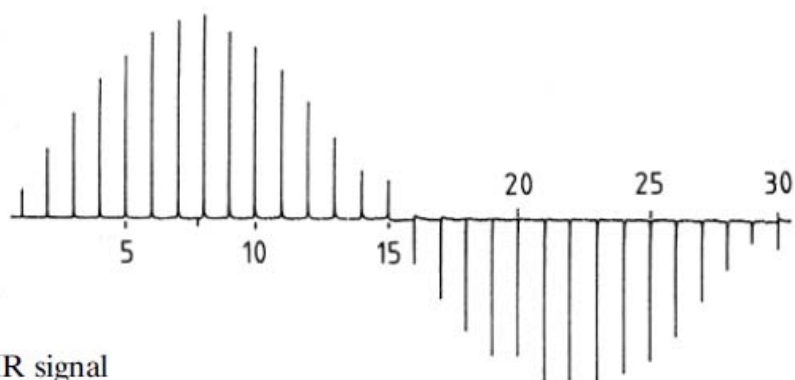


Figure 1-11.

Dependence of the NMR signal from a water sample on the pulse angle θ . In the experiment the pulse duration τ_p was increased in $1 \mu\text{s}$ steps. The maximum signal amplitude is obtained with a 90° pulse, which in this case corresponds to a pulse duration of about $8 \mu\text{s}$. For $\tau_p = 15$ to $16 \mu\text{s}$ the signal amplitude is zero, as the pulse angle is then 180° . For still longer pulses the signal amplitude is negative.

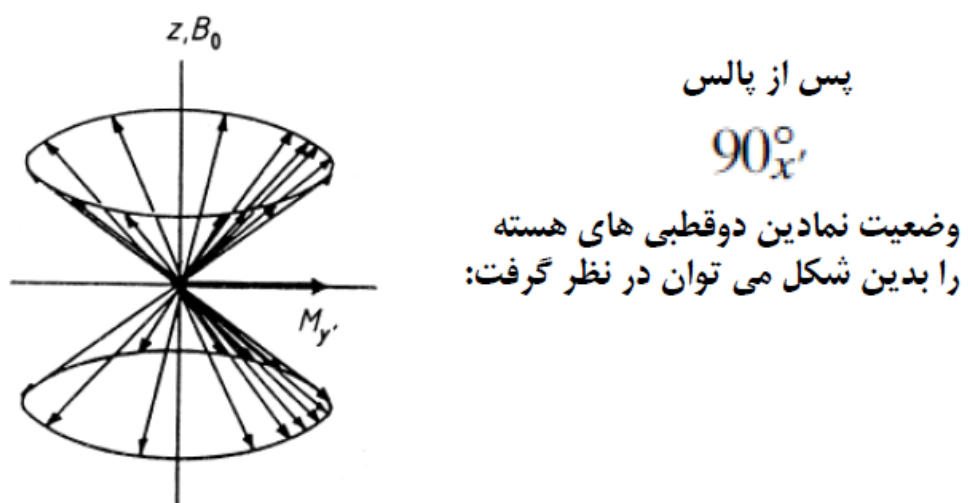
$$\theta = \gamma B_{1i} \tau_p \quad (1-14)$$


Figure 1-12.

Pictorial representation of phase coherence: after a $90^\circ_{x'}$ pulse a fraction of the nuclear spins (not all!) are bunched together in phase as they precess about the field direction z .